

УДК 621.333.024:621.316.73

*А. М. АФАНАСОВ, канд. техн. наук (ДНУЖТ)*

## Моделирование магнитных характеристик тяговых электродвигателей постоянного и пульсирующего тока

**Ключевые слова:** тяговый электродвигатель, магнитная характеристика, арктангенс, коэффициент насыщения, аппроксимация, электродвижущая сила.

Известен целый ряд исследований, посвященных поиску оптимальных аналитических выражений, описывающих кривые намагничивания электрических машин, в том числе — тяговых электродвигателей постоянного тока. Такое аналитическое выражение с одной стороны должно возможно точно описывать зависимость магнитного потока электромашины от м. д. с. её обмотки возбуждения (тока возбуждения), а с другой стороны — быть достаточно простым и легко дифференцируемым. Таким требованиям, по мнению многих исследователей, наиболее полно отвечает функция арктангенса [1].

Для практических расчетов наиболее удобным является описание кривой намагничивания электромашины в виде зависимости удельной э. д. с. вращения от тока возбуждения

$$e \mid f/I,$$

где  $e$  — удельная э. д. с. вращения якоря;  $I$  — ток возбуждения электромашины.

$$e \mid \frac{E}{\omega},$$

где  $E$  — э. д. с. вращения якоря электромашины;  $\omega$  — угловая скорость вращения якоря.

Аналитическое выражение зависимости  $e(I)$  может быть представлено в виде

$$e \mid A \operatorname{arctg} BI, \quad (1)$$

где  $A$  и  $B$  — постоянные коэффициенты.

В практике тягового электромашиностроения широко используется универсальная магнитная характеристика, достаточно точно описывающая кривые намагничивания электродвигателей тягового подвижного состава [2]. Известны и исследования, посвященные аналитическому описанию данной универсальной характеристики. Предварительный анализ показывает, что выражение (1) описывает универсальную магнитную характеристику с достаточной точностью лишь в средней её части. В ненасыщенной зоне и зоне насыщения применение выражения (1) даёт некоторую ошибку. Асимптота арктангенса горизонтальна, а кривая универсальной магнитной характеристики в зоне насыщения представляет собою наклонную линию.

Необходимо отметить, что реальные типовые скоростные характеристики тяговых двигателей [3] дают расчетные приведенные магнитные характеристики, расходящиеся с универсальной характеристикой на величины, соизмеримые с допустимыми отклонениями магнитных характеристик в часовом режиме ( $\pm 3\%$ ) [4]. Поэтому описание реальных магнитных характеристик выражением (1) в зоне рабочего диапазона изменения тока является удовлетворительным. Например, при тепловых испытаниях тяговых электромашин этот диапазон изменения тока может быть задан в окрестности часового режима, при котором проводятся испытания [4].

Рассмотрим свойства функции (1), как выражения для описания магнитной характеристики, представив её в виде

$$e_A \mid \operatorname{arctg} BI, \quad (2)$$

где

$$e_A \mid \frac{e}{A}.$$

График функции (2) приведен на рис. 1 в виде кривой  $e_A \mid f^1 BI$  (линия 1). Допустим, точка  $S$  соответствует часовому режиму ( $I=I_q$ ), для которого  $e_A \mid e_{Aq}$ . Тогда коэффициент насыщения тяговой электромашины, соответствующий часовому режиму, будет равен

$$K_{nq} \mid \frac{BI_q}{BI_1},$$

где  $BI_\delta$  — параметр  $BI$ , соответствующий падению магнитного напряжения в воздушном зазоре.

Прямая 2 (рис. 1) соответствует зависимости удельной э. д. с. от падения магнитного напряжения в воздушном зазоре электромашины. Из свойств функции арктангенса прямая 2, представляющая собой касательную к кривой 1 в точке  $e_A(0)$ , описывается уравнением

$$e_A = BI,$$

а углы её наклона к осям координат равны  $45^\circ$ . Тогда выражение для коэффициента насыщения  $K_{nq}$  может быть преобразовано к виду

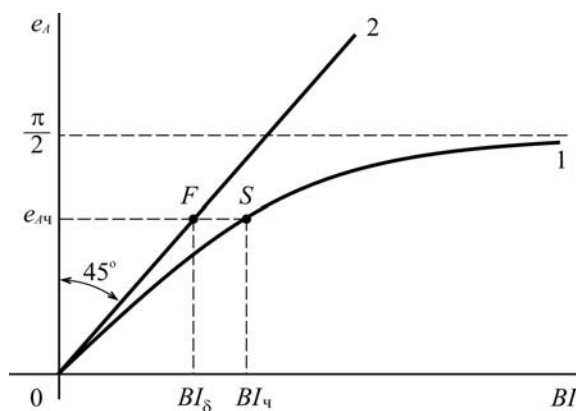


Рис. 1.

$$K_{\text{нч}} \mid \frac{\operatorname{tg} e_{A\text{ч}}}{e_{A\text{ч}}}, \quad (3)$$

где  $e_{A\text{ч}}$  — параметр  $e_A$ , соответствующий часовому току (рис. 1).

Таким образом, коэффициент насыщения  $K_{\text{нч}}$ , соответствующий часовому режиму, определяет параметр  $e_{A\text{ч}}$ , а при известной удельной часовой э. д. с. вращения  $e_q$  и сам коэффициент  $A$  в выражении (1).

$$A \mid \frac{e_q}{e_{A\text{ч}}}. \quad (4)$$

Значение  $e_q$  может быть выражено через типовые параметры тяговой электромашины в виде

$$e_q \mid \frac{U_n 4 I_q \bar{R}}{\omega_q},$$

где  $U_n$  — номинальное напряжение;  $I_q$ ,  $\omega_q$  — часовые значения тока и угловой скорости соответственно;  $\bar{R}$  — суммарное сопротивление обмоток электромашины.

Выражения (3) и (4) могут быть использованы для предварительной оценки параметра  $A$  в упрощенных расчетах, требующих аналитическое описание магнитных характеристик тяговых электромашин по известному коэффициенту магнитного насыщения  $K_{\text{нч}}$ .

Коэффициент  $B$  при известных значениях  $A$  и  $e_q$  может быть определен как

$$B \mid \frac{\operatorname{tg} e_{A\text{ч}}}{I_q}. \quad (5)$$

Рассмотрим основные возможные способы определения уточненных значений коэффициентов  $A$  и  $B$ , обеспечивающих наиболее корректное аналитическое описание магнитных характеристик известных серий тяговых электромашин. Будем считать известными их типовые скоростные характеристики  $\omega = f(I)$ , номинальное напряжение  $U_n$  и суммарное сопротивление обмоток  $R$ . Тогда не представляет трудности получение реальной магнитной характеристики в виде  $e = f(I)$ . Необходимо отметить, что типовые скоростные характеристики, получаемые в результате квалификационных испытаний тяговых электромашин, представляются в виде конечного числа дискретных точек и являются усредненными для данной серии электромашины [3].

Первый способ определения коэффициентов  $A$  и  $B$  графически представлен на рис. 2. Искомые параметры аппроксимирующей функции (1) могут быть найдены из условия прохождения кривой  $e(I)$  через две заданные точки  $M$  и  $N$ . Предполагается, что  $e(I_M)$  и  $e(I_N)$  точно определены типовой скоростной характеристикой, то есть  $\omega(I_M)$  и  $\omega(I_N)$  являются табличными данными результатов квалификационных испытаний.

Коэффициенты  $A$  и  $B$  в этом случае могут быть определены путем решения системы уравнений:

$$\begin{cases} e_M \mid A \operatorname{arctg} BI_M; \\ e_N \mid A \operatorname{arctg} BI_N. \end{cases}$$

Выбор самих точек  $M$  и  $N$ , в которых реальная характеристика  $e(I)$  и аппроксимирующая кривая будут пересекаться, может быть осуществлен методом экспертных оценок в зависимости от цели моделирования магнитной характеристики.

Второй способ определения коэффициентов  $A$  и  $B$  графически представлен на рис. 3. Искомые параметры аппроксимирующей функции (1) могут быть определены из условия прохождения кривой  $e(I)$  через заданную точку  $S$  с заданным значением производной  $\frac{de}{dI}$  в данной точке.

Здесь предполагается, что  $e(I_S)$  точно определена типовой скоростной характеристикой, а производная  $\frac{de}{dI}$  в точке  $S$  может быть определена графически достаточно точно.

Коэффициенты  $A$  и  $B$  в этом случае определяются путем решения системы уравнений:

$$\begin{cases} e_S \mid A \operatorname{arctg} (BI_S); \\ \left. \frac{de}{dI} \right|_{I=I_S} \mid \frac{AB}{12 B^2 I_S^2}. \end{cases}$$

В качестве точки  $S$  при данном способе аппроксимации имеет смысл выбирать наиболее вероятный режим работы электромашины. Если идет речь о моделировании электромеханических процессов при тепловых испытаниях электромашин, это будет режим, соответствующий часовому или другому эквивалентному току.

Третий способ определения коэффициентов  $A$  и  $B$  графически представлен на рис. 4. Искомые параметры аппроксимирующей функции (1) могут быть определены из условия прохождения кривой  $e(I)$  через заданную точку

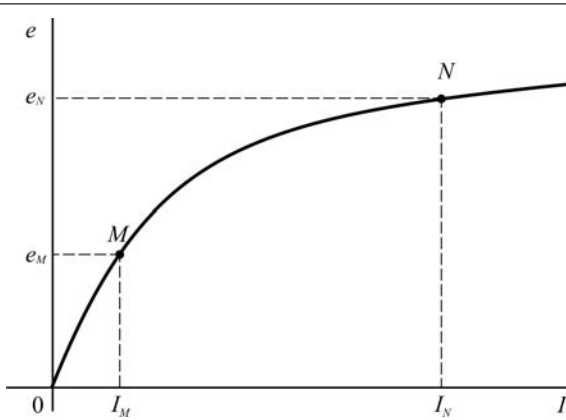


Рис. 2.

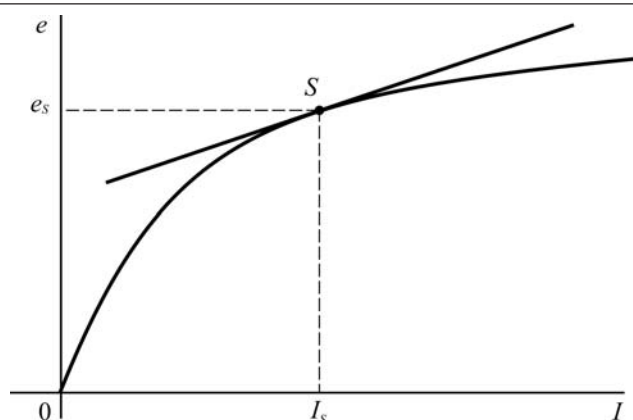


Рис. 3.

$S$  при максимальном совпадении искомой кривой 2 с реальной кривой намагничивания 1 на заданном отрезке изменения тока  $[I_1; I_2]$ . Критерием степени корректности аппроксимации может быть выбран, например, минимум среднего квадратического отклонения.

В качестве точки  $S$  при заданном способе аппроксимации имеет смысл выбирать режим, соответствующий часовому току, то есть  $I_S = I_{\text{ч}}$ .

Коэффициенты  $A$  и  $B$  в этом случае определяются методом подбора с учётом выполнения условий:

$$\begin{cases} e_S \mid A \operatorname{arctg} BI_S \\ \omega \downarrow \min, \end{cases}$$

где  $\sigma$  — среднее квадратическое отклонение.

Выбор отрезка  $[I_1; I_2]$ , на котором рассчитывается параметр  $\sigma$ , осуществляется в зависимости от ожидаемого диапазона изменения тока  $I$  и целей моделирования магнитной характеристики.

Четвёртый способ определения коэффициентов  $A$  и  $B$  графически представлен на рис. 5. Здесь искомые параметры аппроксимирующей функции могут быть определены из условия максимального совпадения искомой кривой 2 с реальной кривой намагничивания 1 на заданном отрезке изменения тока  $[I_1; I_2]$ .

Критерием степени корректности проводимой аппроксимации может быть выбран тот же параметр, что и в третьем способе — минимум среднеквадратического отклонения  $\sigma$ .

$$\omega \downarrow \min.$$

Выбор отрезка  $[I_1; I_2]$  осуществляется таким же образом, как и в предыдущем — третьем способе.

В отличии от третьего способа, в котором выбор одного из коэффициентов, например  $A$ , определяет значение другого ( $B$ ), в четвёртом способе требуется перебор сочетаний этих двух параметров. Данный способ даёт наиболее точное совпадение аппроксимирующей характеристики с реальной, однако не гарантирует их совпадение в заданной точке, например в той, которая соответствует режиму испытания. Кроме того, этот способ в сравнении с другими, описанными выше, является самым трудоёмким.

Анализ приведенных способов определения параметров аппроксимирующей функции (1) показывает, что наиболее рациональным для описания кривой намагничивания на заданном отрезке изменения тока является третий способ, формализованный в виде условий (6).

Зависимость  $e_{A\text{ч}} \mid f/K_{\text{нч}}$  может быть определена по универсальной магнитной характеристике. В табл. 1 приведены результаты расчёта данной зависимости, проведенного по третьему способу с учётом выполнения условий:

$$\begin{cases} \Phi_S \mid A_0 \operatorname{arctg} B_0 F_S \\ \omega \downarrow \min, \end{cases}$$

где  $\Phi_S$  и  $F_S$  — координаты точки  $S$  (в относительных единицах) на универсальной магнитной характеристике [2], соответствующие выбранному коэффициенту насыщения  $K_{\text{нч}}$  часового режима;  $A_0$  и  $B_0$  — коэффициенты аппроксимации универсальной магнитной характеристики.

При этом параметр  $e_{A\text{ч}}$  рассматривается как отношение

$$e_{A\text{ч}} \mid \frac{\Phi_{S\text{ч}}}{A_0},$$

где  $\Phi_{S\text{ч}}$  — магнитный поток (в относительных единицах), соответствующий часовому режиму.

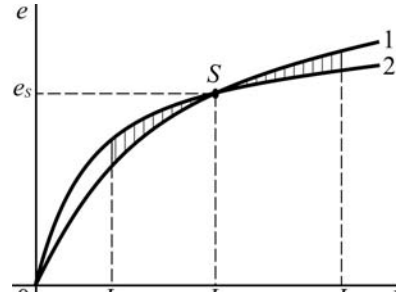


Рис. 4.

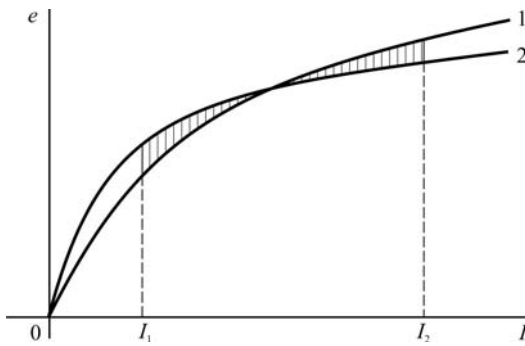


Рис. 5.

Таблица 1

$K_{\text{нч}}$	1,67	1,79	1,91	2,04	2,15	2,27	2,49
$e_{A\text{ч}}$	1,16	1,2	1,23	1,25	1,26	1,28	1,3

Сам часовой режим (положение точки  $S$ ) задавался на кривой универсальной магнитной характеристики значением коэффициента магнитного насыщения  $K_{\text{нч}}$ .

На рис. 6 зависимость  $e_{A\text{ч}}(K_{\text{нч}})$ , полученная для универсальной магнитной характеристики (см. табл. 1) приведена в графическом виде.

Данная зависимость позволяет определить коэффициенты аппроксимации  $A$  и  $B$  в уравнении (1) по выражениям (3) и (4) соответственно, используя только типовые параметры тяговой электромашины и значение коэффициента магнитного насыщения в часовом режиме. При этом наличия самой магнитной характеристики не требуется.

#### ЛИТЕРАТУРА

1. Архангельский Б.И. Аналитическое выражение кривой намагничивания электрических машин [Текст] / Б. И. Архангельский // Электричество. — 1958. — № 1. — С. 14—18.

2. Находкин М. Д. Универсальная магнитная характеристика тяговых электродвигателей постоянного тока [Текст] / М. Д. Находкин, В. С. Хвостов // Вестник электропромышленности. — 1958. — № 1. — С. 44—48.

3. Правила тяговых расчетов для поездной работы. — М.: Транспорт, 1985. — 287 с.

4. ГОСТ 2582-81. Машины электрические врачающиеся тяговые. [Текст] / Государственный стандарт СССР. — М.: Издательство стандартов, 1981. — 50с.

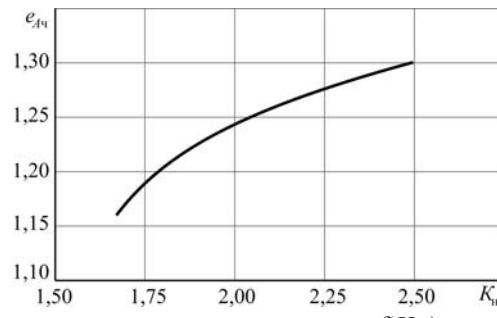


Рис. 6. Зависимость  $e_{A\text{ч}} = f(K_{\text{нч}})$ .